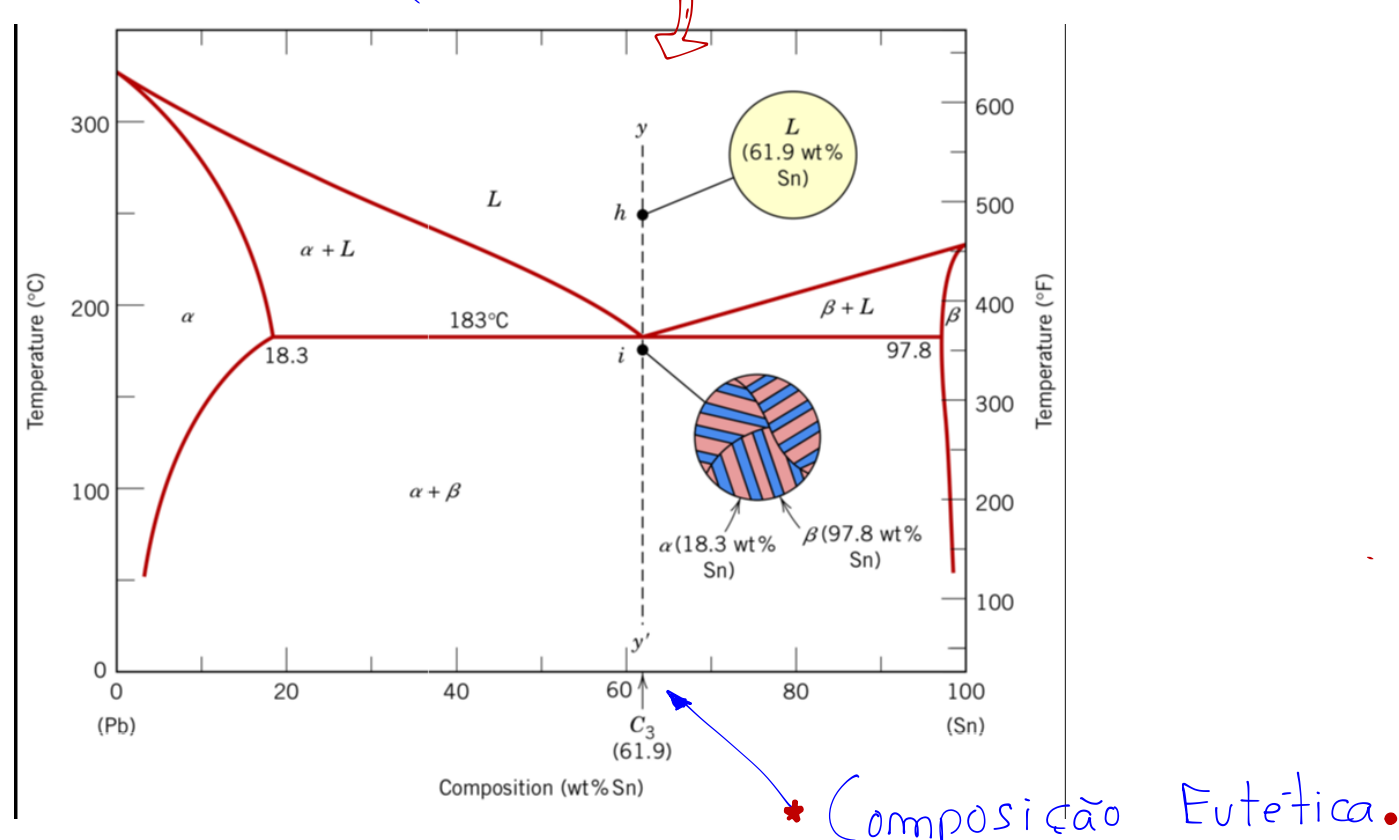


* A configuração microestrutural final de uma liga eutética depende da composição e da distância da composição à composição eutética (composição eutética)

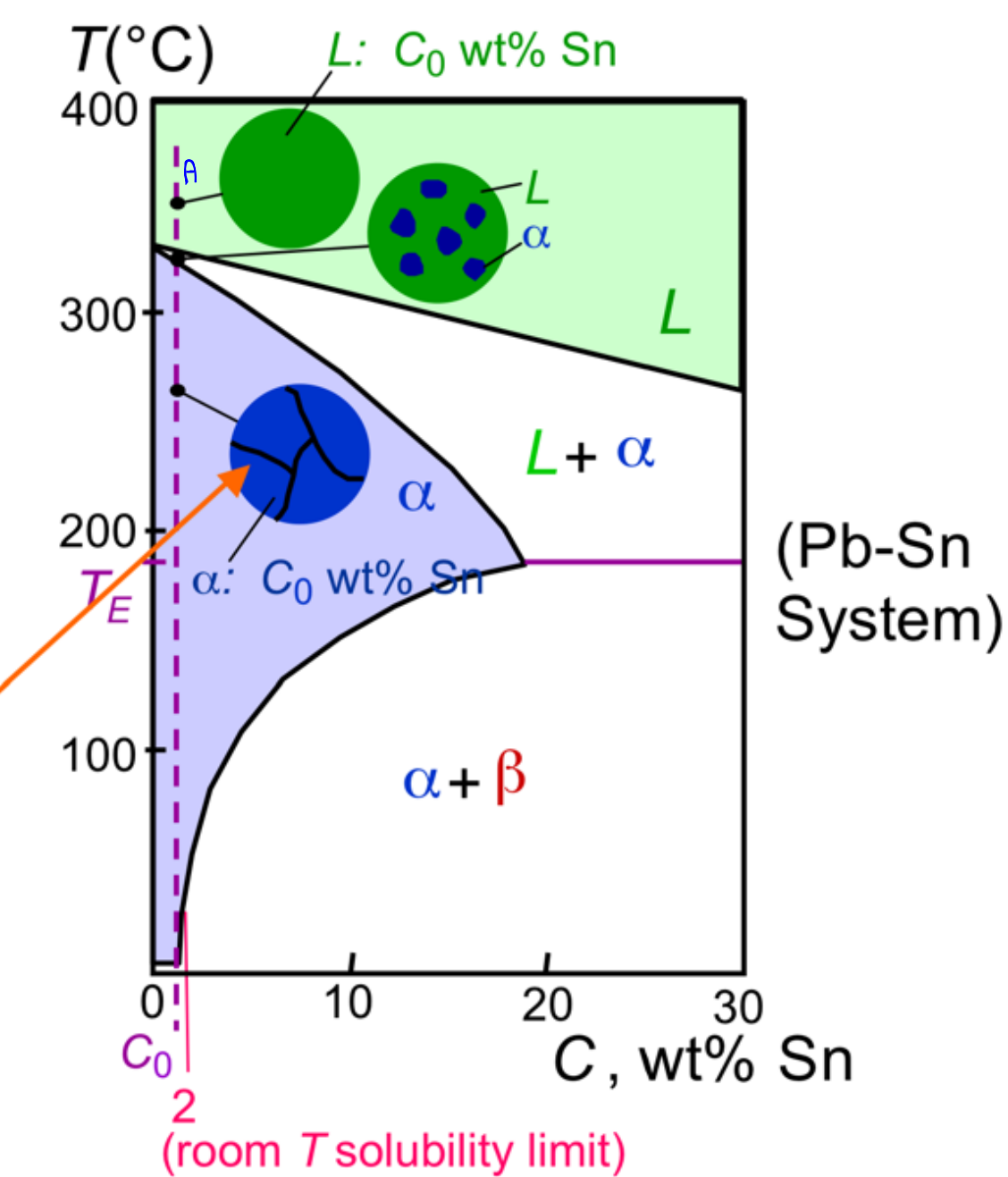


Composição Eutética.

* Vamos dinamizar o processo de solidificação resfriando lentamente através de linhas verticais (diferentes composições) que passem por diferentes regiões. Usaremos como exemplo o sistema Sn-Pb (Chumbo-Stamho - Fig. acima)

1º Caso Liga Rica em Chumbo, digamos ~98% de Chumbo (Pb) para ~2% de Estamho (Sn).

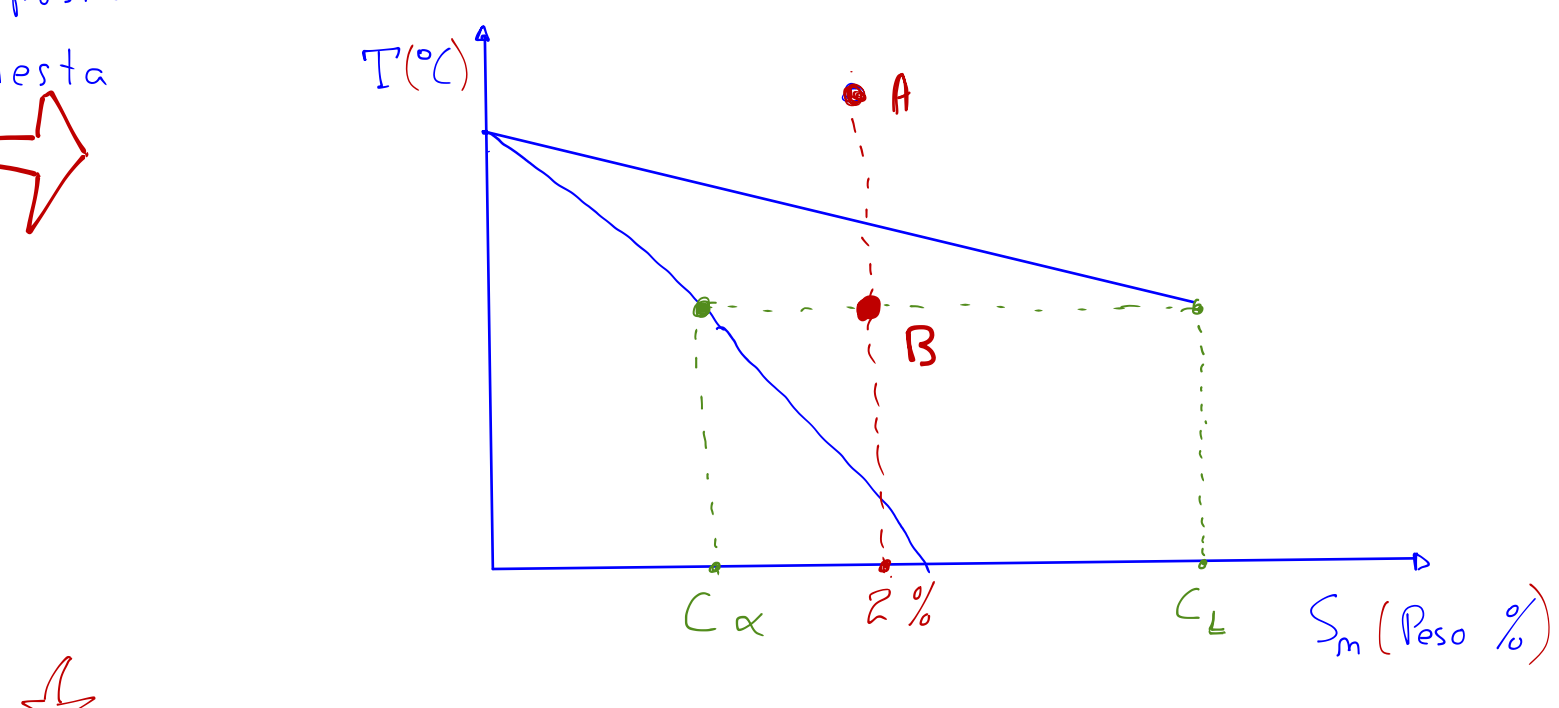
* Objetivo: Misturar-se Sn-Pb em uma composição abaixo do limite de solubilidade em temperatura ambiente; tal que ao resfriar-se a mistura desde altas temperaturas temhamos um sólido homogêneo (com Sn completamente diluído no solvente chumbo). Queremos verificar a configuração do sistema em cada temperatura - a evolução do sistema Sn(2%) - Pb(98%).



Em A: temperatura de derretimento do conjunto.

⇒ Líquido com percentual Sn(2%).

Em B: O decrecimento da temperatura levou o sistema a uma temperatura cuja a energia térmica (kT) é inferior à energia de derretimento da fase α . Observar, momentâneo, que as partículas α se formam na composição de solubilidade limite desta temperatura. Ampliando



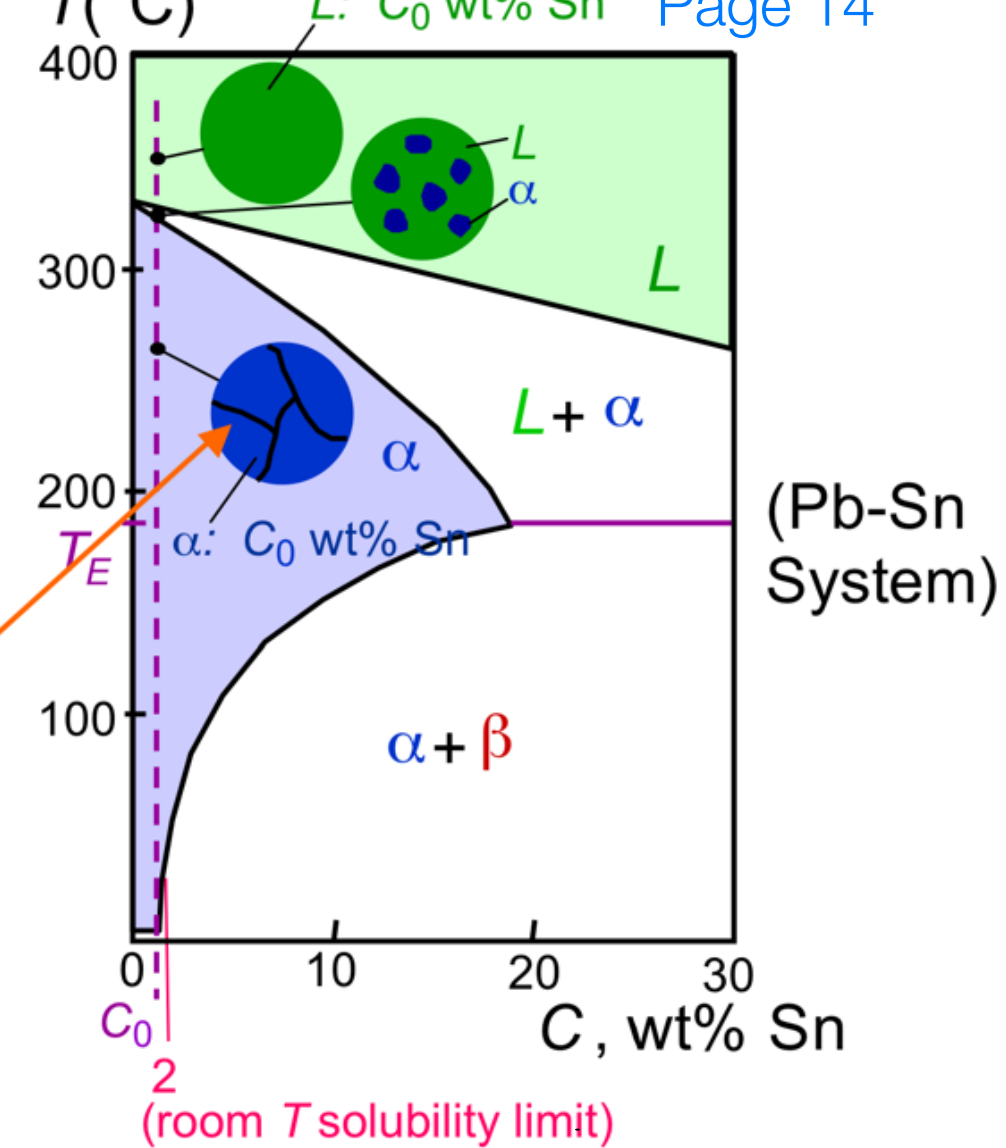
→ Quanto mais próximo B estiver da linha delimitadora $L+\alpha$ (limite solidus) maior o per centual da fase α no conjunto $L+\alpha$. Além disso, como vimos antes, α se forma com composição dada pelo limite de solubilidade C_{α} (a parte líquida f_L ca com composição C_L).

→ Processo de formação da fase α :

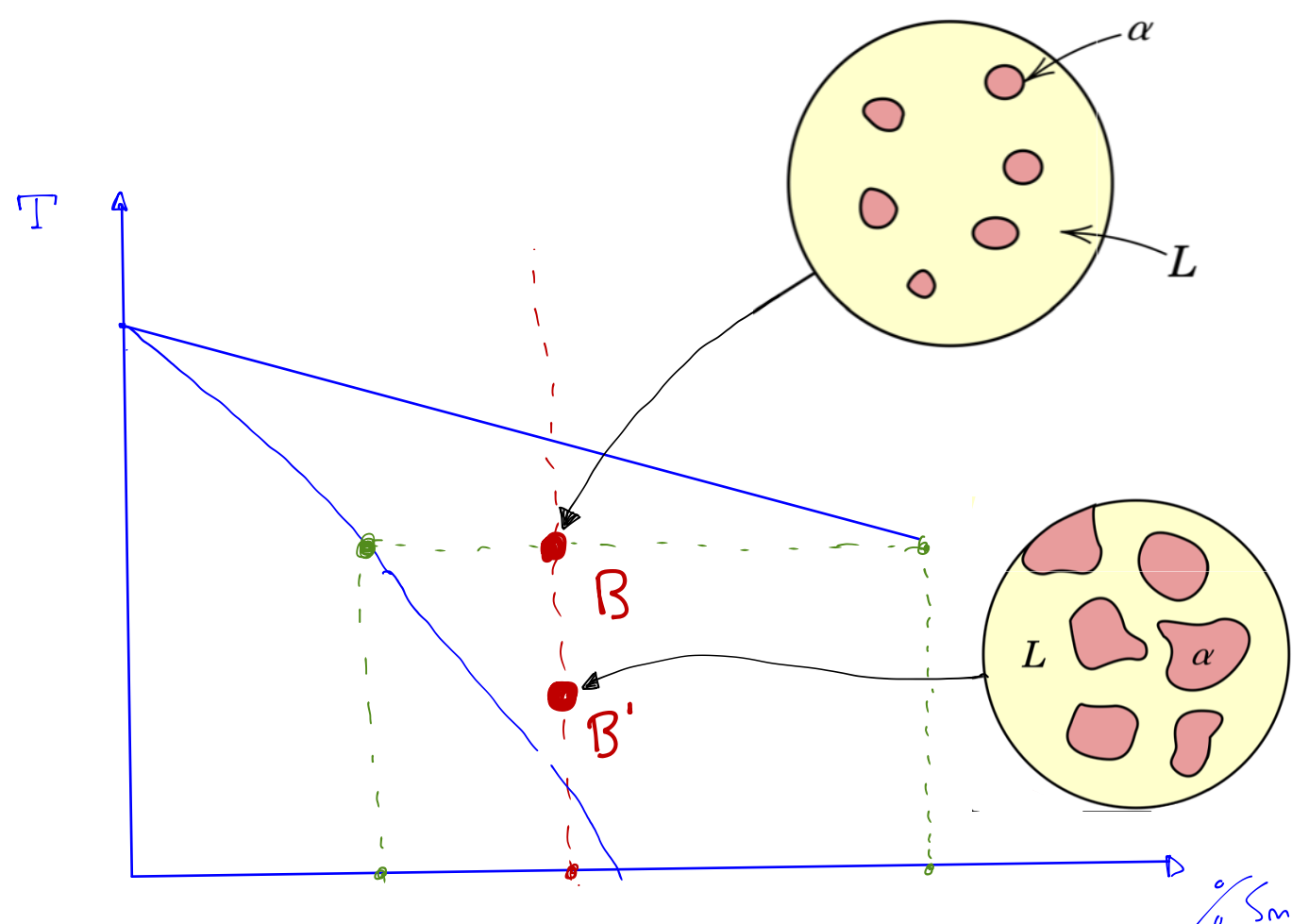
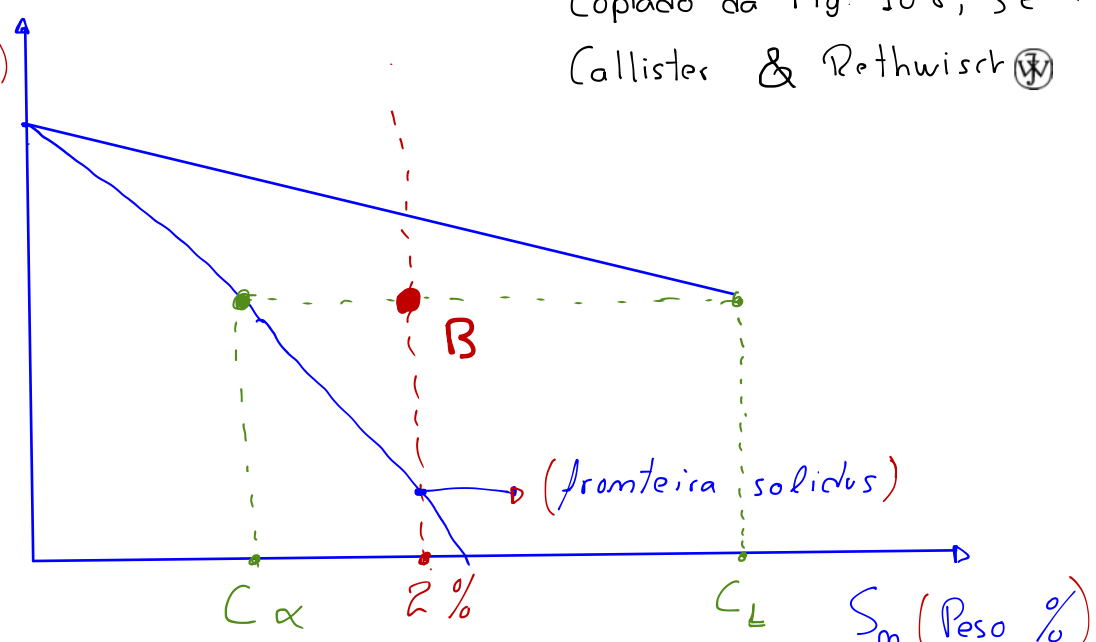
Como dentro do líquido não existe ponto (região do espaço dentro do recipiente contendo o líquido) privilegiado → ao ultrapassar-se a linha líquidus as partículas α começam a se formar de forma imediatamente e em pontos aleatórios da mistura.

Desta forma dá-se início a ilhas sólidas do tipo α imersas em uma matriz líquida L .

A medida que a temperatura decresce no sentido da fronteira solidus as ilhas α crescem de tamanho, como ilustra-se abaixo.



Copiado da Fig 10.8, 3e
Callister & Rethwisch

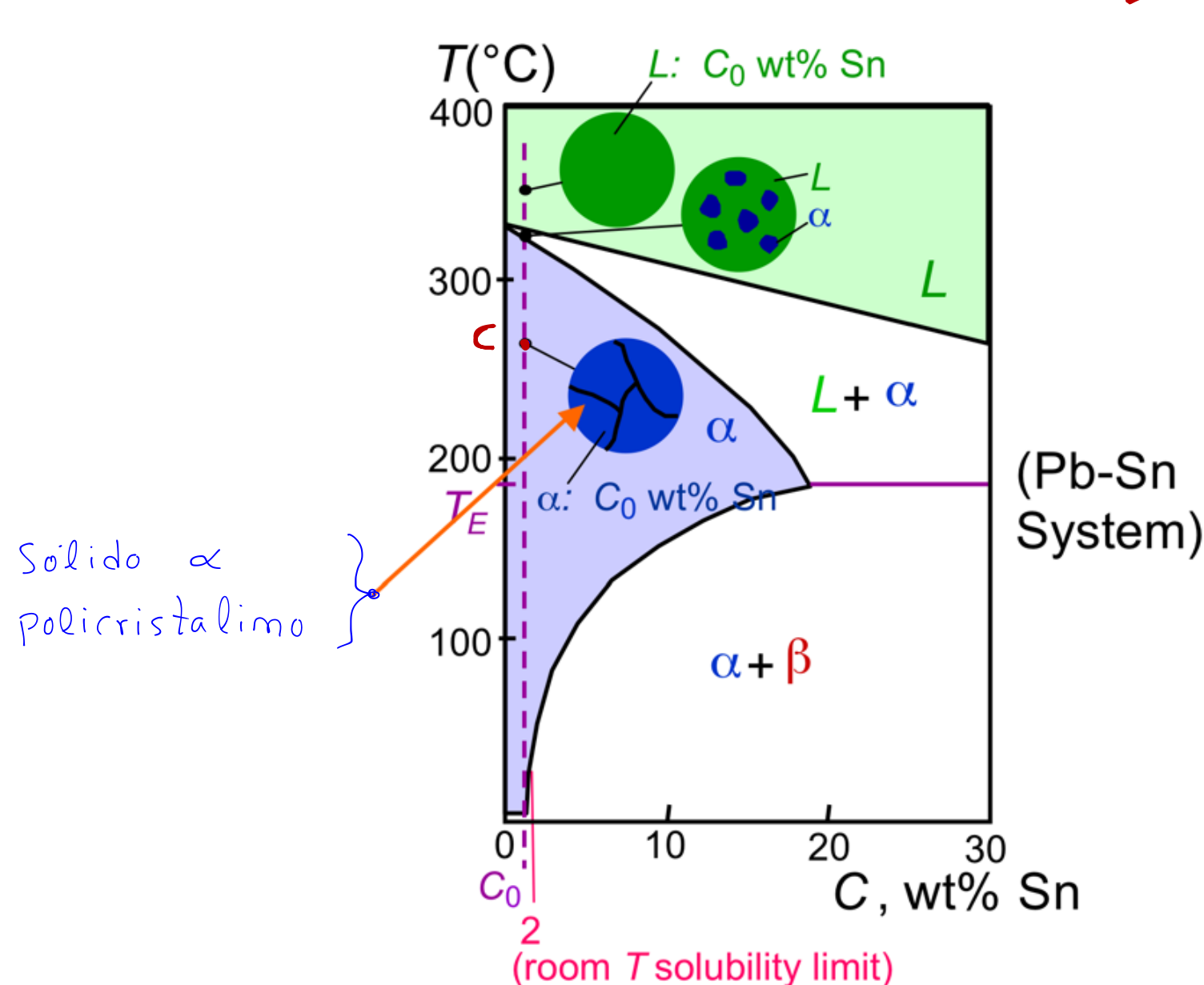


No limite da fronteira solidus as ilhas α tendem a ocupar todo o volume da amostra ($W_{\alpha} \rightarrow 1$), tal que seus contornos se encontram. Cada ilha α corresponde a uma região cristalina. Contudo, como cada uma delas se formou em pontos e direções (direções relativas ao crescimento dos eixos cristalinos) aleatórias então quando se encontrarem não estarão com eixos cristalinos coincidentes, em outras palavras, a direção [100] de uma ilha não coincide com a direção [100] de outra ilha.



O resultado final, após ultrapassar-se a fronteira solidus, é um sólido policristal.

Límo (cristais direcionados aleatoriamente em diferentes sentidos).



Copiado da Fig. 108, 3^a Ed.
Callister & Rethwisch

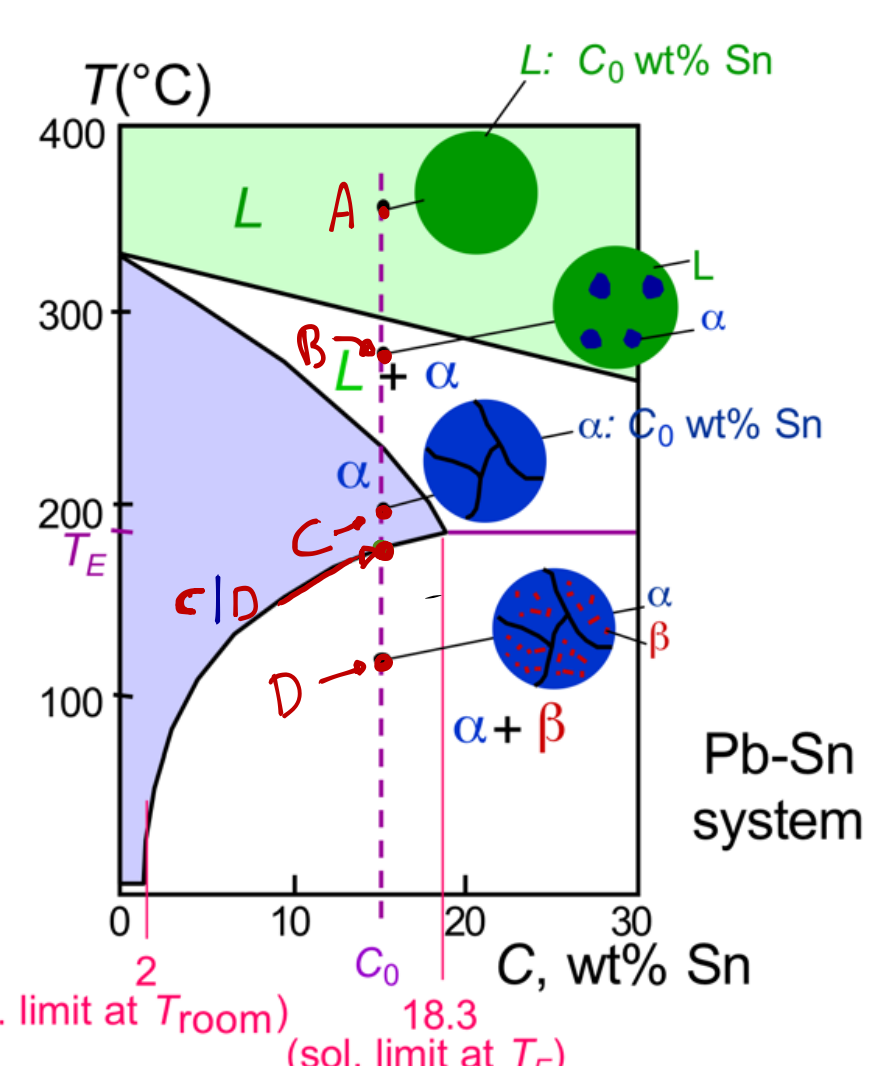
→ Em Σ , para a composição S_m (P.e 2%), abaixo do limite de solubilidade em temperatura ambiente → não há mais mudança na configuração do sistema com o decrecimento de T .

女 女 女

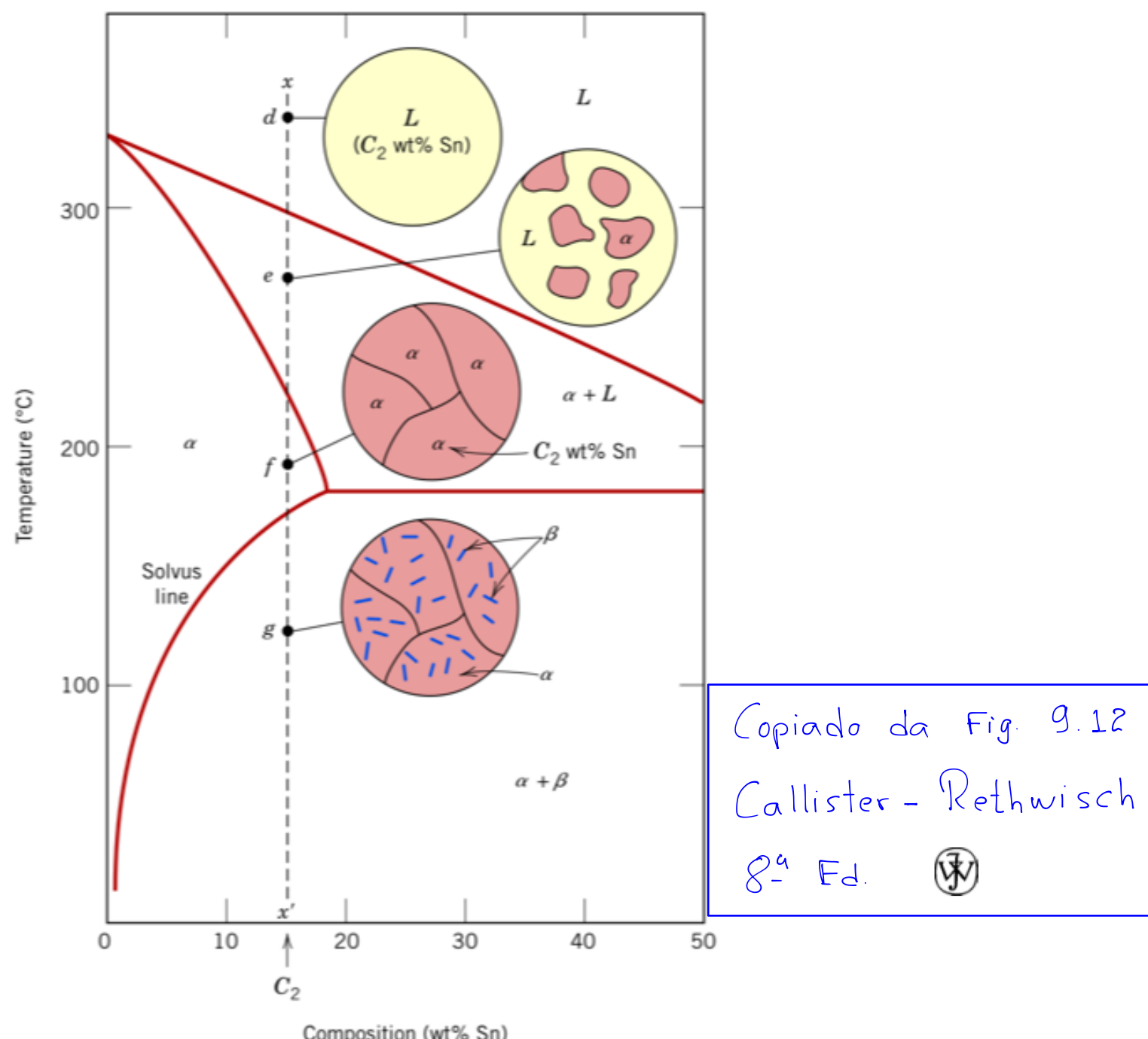
→ Vamos agora repetir o processo de resfriamento em outra composição; Uma com C_0 abaixo do limite máximo de solubilidade (que ocorre na temperatura eutética) e acima do limite de solubilidade em temperatura ambiente ($\sim 20^\circ\text{C}$). Vamos, como no caso anterior, resfriar desde uma temperatura de derretimento total até a temperatura ambiente. Obs. $2\% < C_0 < 18\%$.

→ Até o ponto C a análise é idêntica à realizada para o caso anterior ($S_m \approx 2\%$).

Comtudo, neste caso, antes de chegar-se à temperatura ambiente ultrapassa-se necessariamente a fronteira solvus (**CID**). Imediatamente abaixo da fronteira solvus o sistema encontra-se em uma temperatura cuja composição (entre 2% e 18%) excede o limite local de solubilidade. Significa que nem todo o Sm da composição permanecerá diluído na matriz (solvente) do Pb. Acarreta que o excesso de Sm fica livre para formar a fase β com ~ 98% da (*Já que a temperatura favorece a formação desta fase até a região β .*)



Adicionalmente, como o surgimento da fase β se deu após o sistema ter passado por uma configuração policristalina- α total \Rightarrow a fase β surge como pequenas ilhas dispersas na fase policristalina- α , como ilustra-se abaixo.



* * *

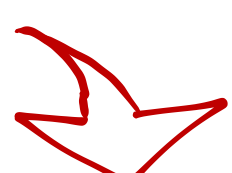
\Rightarrow Antes de analisarmos a composição $[Q_{im. \max} \text{ sol} (\sim 58\%) < C_0 < [Composição \text{ eutéctica} (\sim 61\%)]$

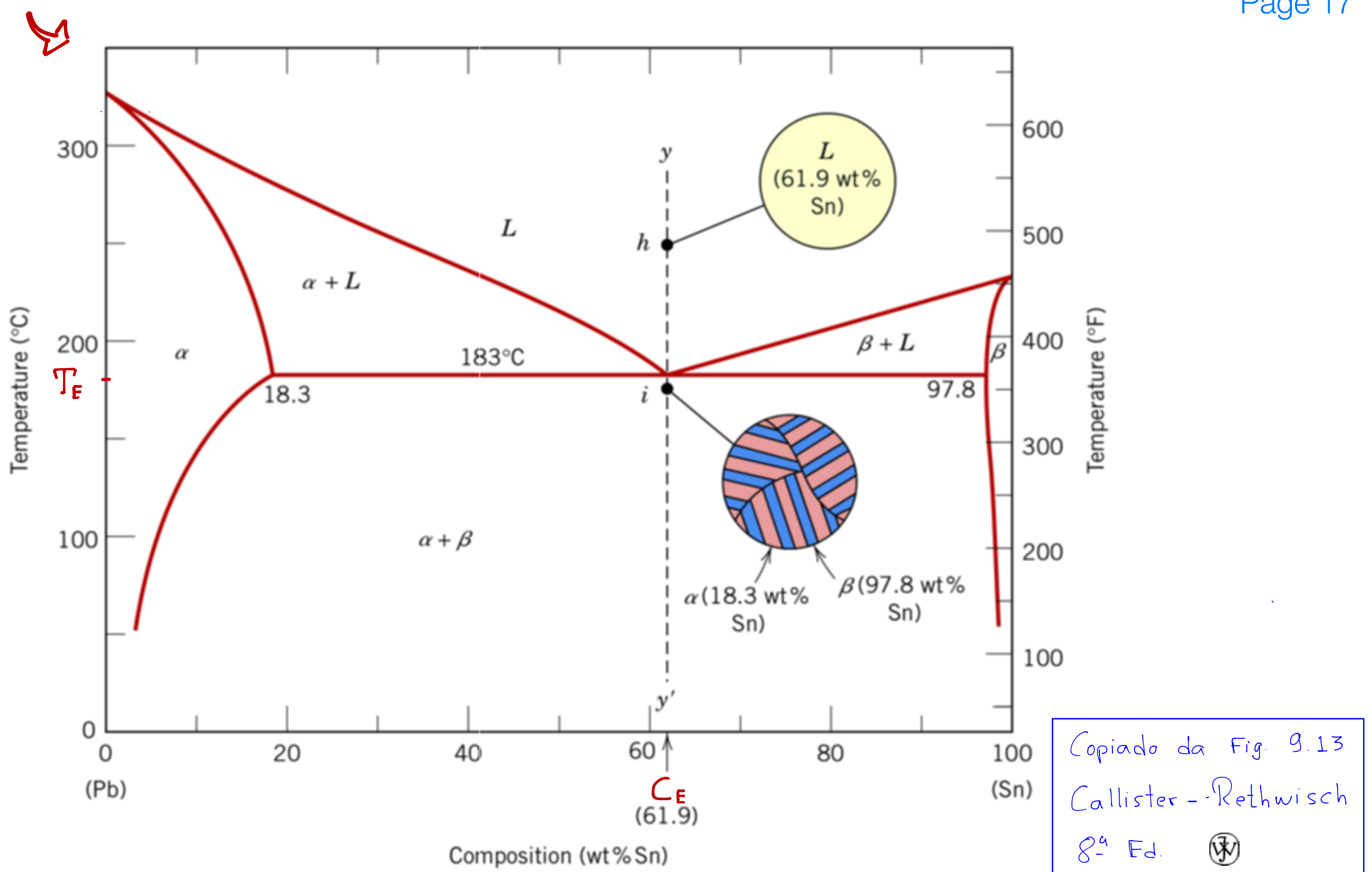
Vamos analisar a composição eutética C_E pois trata-se de uma configuração final diferenciada.

\Rightarrow Porque esta configuração leva o sistema a uma configuração final diferenciada?

Resposta: É a única composição que permite a mistura transicionar da fase totalmente líquida para a fase totalmente sólida - ou seja - o sistema não começa a formar ilhas de um ou outro tipo (α ou β) para depois possibilitar o surgimento da outra fase. Nesta composição \Rightarrow abaixo do ponto eutético dá-se início à formação das fases α e β simultaneamente e não a formação de uma dentro (possivelmente) dos grãos (ilhas) da outra.

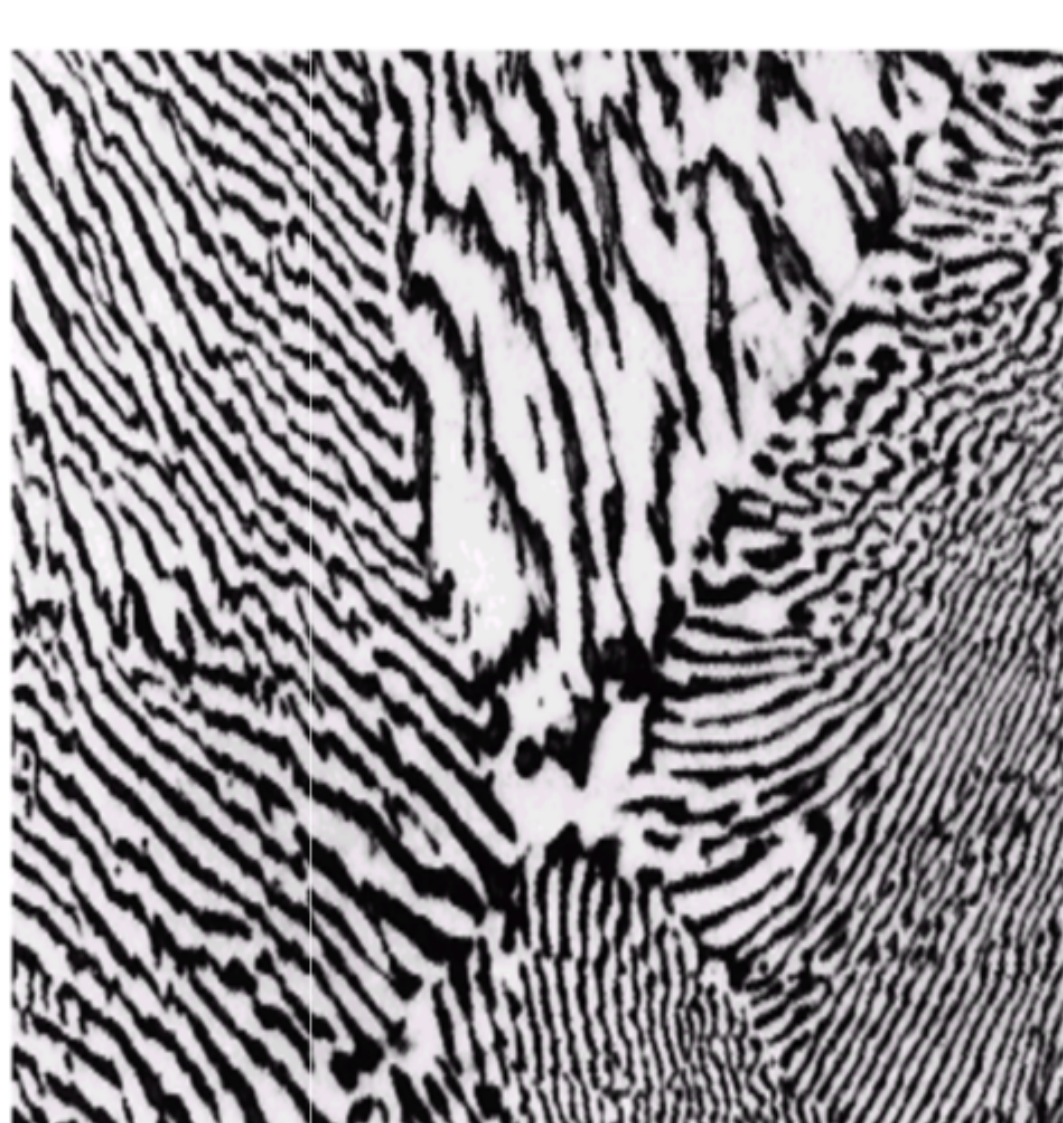
O Processo.





⇒ Immediatamente abaixo da temperatura eutética T_E formam-se de forma simultânea as fases α e β ; mas composições C_α (18% Sn) e C_β (98% Pb) — composições nos limites máximos de solubilidade —. Como tratase de um processo de formação simultânea, as fases se entrelacam sem privilégio em ordem temporal e espacial da formação; fazendo resultar em um sistema homogêneo. Há, contudo, um favorecimento pela composição (fato já comentado em outras situações — w_α e w_β), tal que quanto mais para a esquerda (maiores valores do % Sn) estiver C_E maior será o percentual da fase α e vice-versa.

Abaiixo mostra-se uma micrografia deste sistema — Sn-Pb solidificado na composição C_E .



Copiado da Fig. 10.14
Callister - Rethwisch
3ª Ed. W

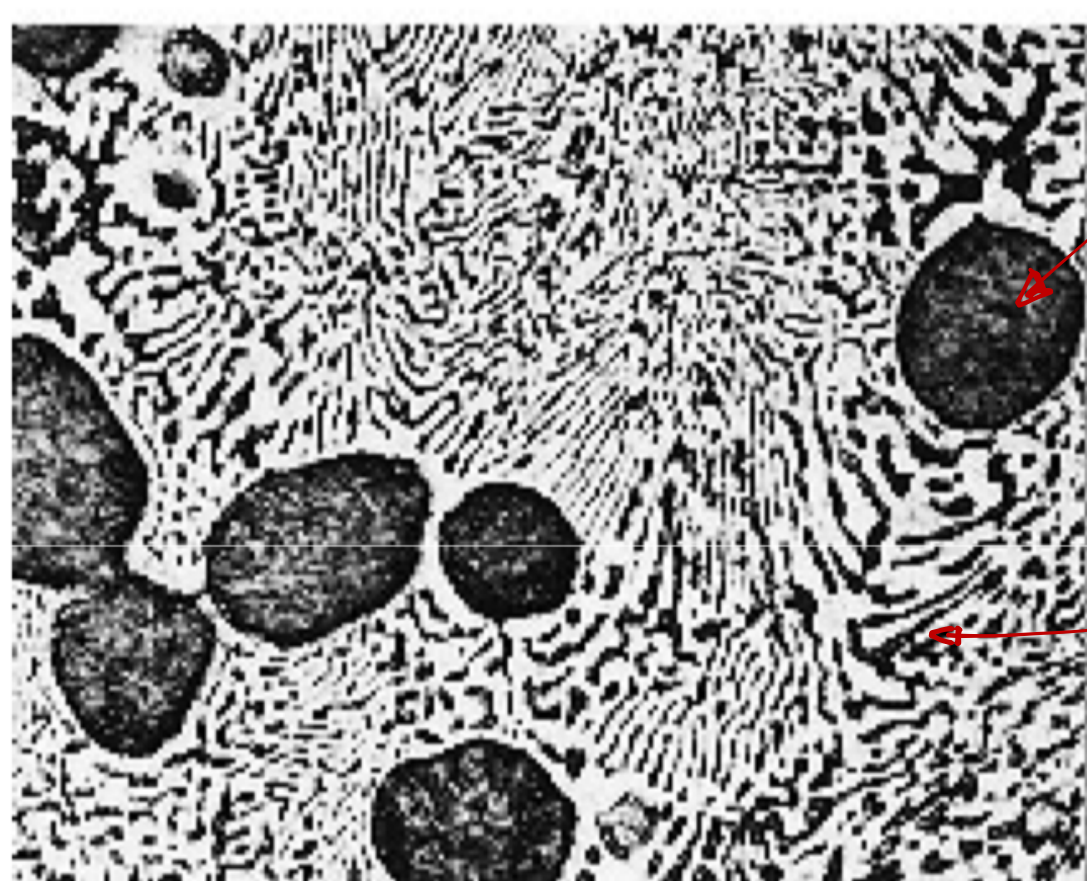
→ Vamos agora ao caso de um resfriamento na composição

$$[\text{Qim. máx sol} (\sim 58\%)] < C_0 < [\text{Composição eutética} (\sim 61\%)].$$

→ Neste caso o sistema passa pela região $\alpha + L$, produzindo ilhas de sólidos cristalinos do tipo α , e posteriormente, ao passar pela temperatura T_E , da imício ao surgimento da fase β .

Temperatura e mão
composição.

Análise: Ao entrar na região $\alpha + L$ dá-se imício à formação de grãos (ilhas) do tipo α . A medida que a temperatura decresce dentro da região $\alpha + L$ o percentual $w\alpha$ aumenta. Ao atingir a interface $\alpha + L | \alpha + \beta$ (na isotermica T_E) dá-se imício à formação simultânea de α e β , assim como no caso eutético anterior. A fração líquida na interface $w_{L,\text{eutético}}$ assume uma configuração do tipo mostrado na micrografia mostrada na página anterior, sobreposta às ilhas do tipo α previamente desenvolvidas em $\alpha + L$. Esta microestrutura está mostrada na micrografia abaixo.

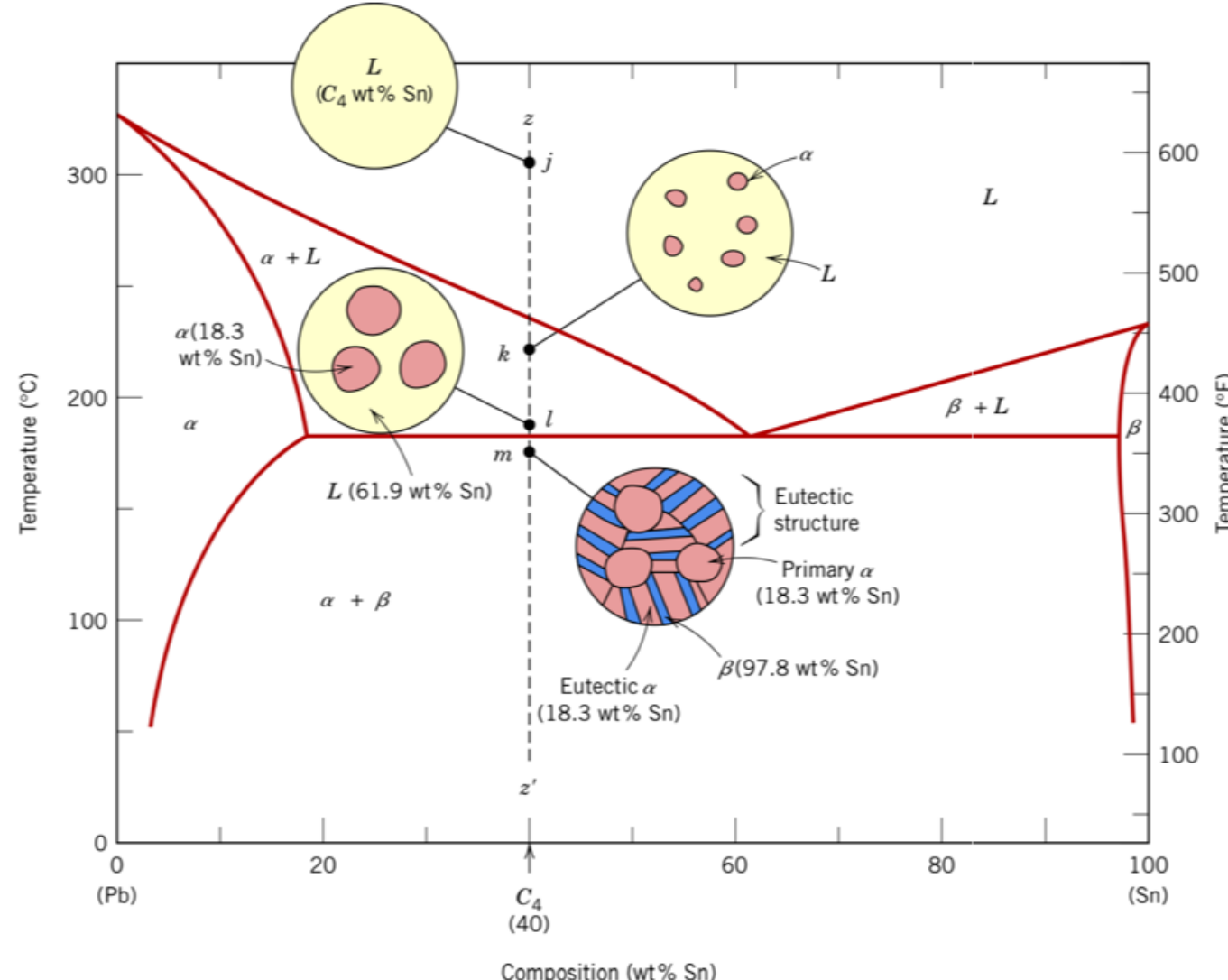


Copiado da Fig. 9.12
Callister - Rethwisch
8^a Ed.

• Fase do tipo α rica em chumbo Pb. Estas são as ilhas crescidas na região $\alpha + L$.

• Região que era líquida até a interface $\alpha + L | \alpha + \beta$; e que se formou numa forma lamelar homogênea. Dentro desta região a parte branca corresponde à fase β rica em chumbo (Sn). A parte lamelar escura corresponde a uma fase α formada simultaneamente com a fase lamelar β .

Esquematicamente



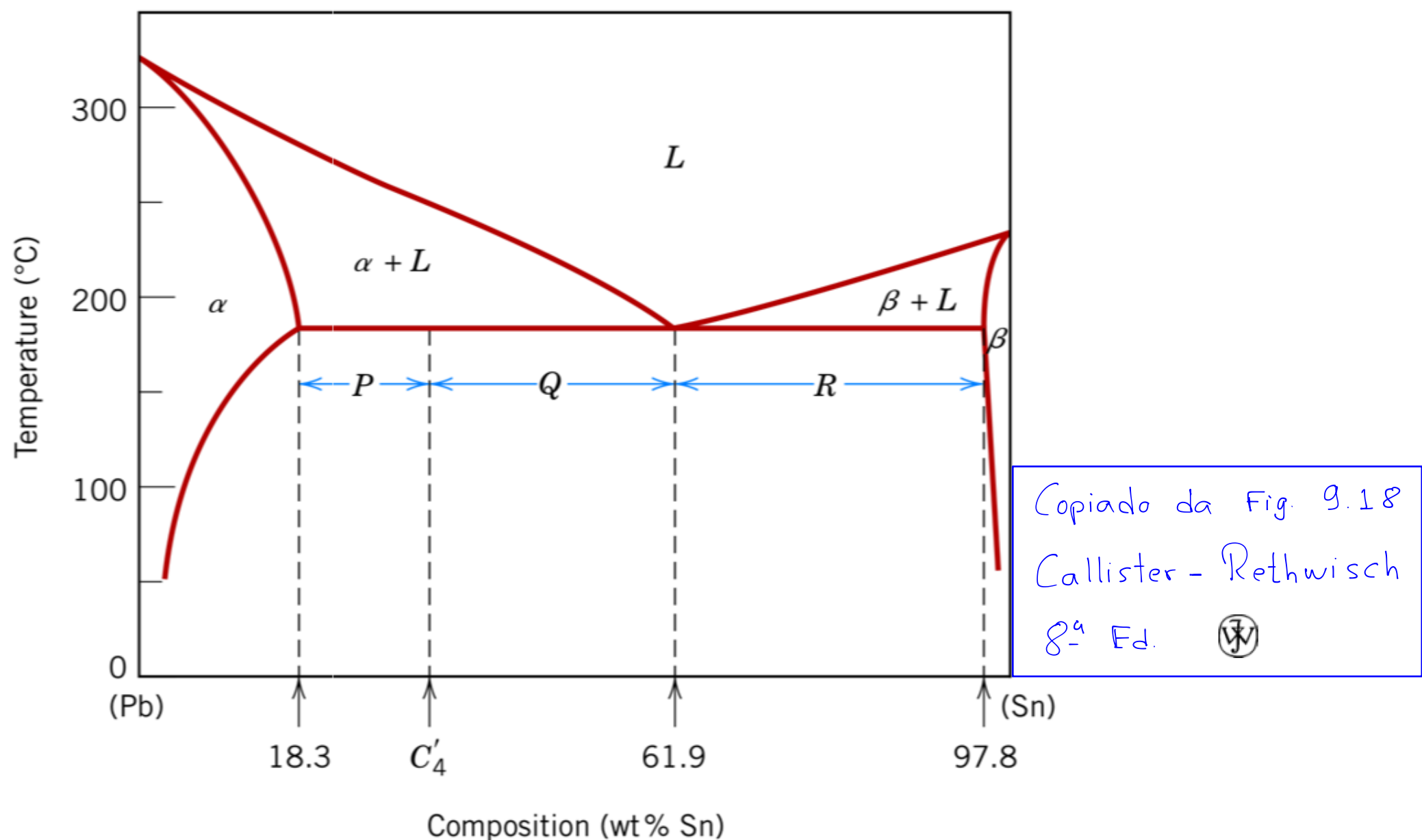
Copiado da Fig. 9.16
Callister - Rethwisch
8^a Ed.

* Em termos de cálculos percentuais só temos a acrescentar o cálculo das frações ^{do tipo} α ilha (grãos- α) e do tipo lamelar. Essas frações são calculadas na temperatura T_E ; mesmo que o sistema esteja em $T < T_E$.

Chama-se os grãos- α previamente formados de α -primário ($\equiv \alpha'$).

Chama-se a fração lamelar ($\alpha+\beta$) de fração eutética w_e .

• Cálculos:



$$\text{A fração lamelar é igual a fração } w_L \Rightarrow w_L = \frac{P}{P+Q}$$

$$\text{A fração } \alpha\text{-primária } w_{\alpha'} \Rightarrow w_{\alpha'} = \frac{Q}{P+Q}$$

$$\text{A fração } \alpha \text{ total é calculada da forma habitual } w_{\alpha} = \frac{Q+R}{P+Q+R}.$$

Obs: Todo o desenvolvimento é totalmente similar para um resfriamento com

[Composição eutética $\sim 61\%$ -Sn] $< C_0 <$ [limite máximo de solubilidade Pb no Sn].

Neste caso os grãos primários são de fase β .

Na região da solubilidade total de Pb em Sn o processo é similar ao da região com $\sim 2\%$ de Sn.



Diagramas em equilíbrio tendo fases ou composições intermediárias.

Vimos, no exemplo anterior (Liga bimária Eutética), sistemas eutéticos bimários; são caracterizados pela existência de apenas duas fases sólidas (α e β). Adicionalmente as fases α e β são ditas soluções sólidas terminais por acontecerem nos extremos de composição, Ex: ↳

- * Para formar a fase α pura é necessário que a composição esteja abaixo do limite máximo de solubilidade para uma dada temperatura. Mas isso só ocorre no extremo esquerdo (do leitor) de composição.
- * Inversamente para a fase β .

Para muitos sistemas bimários, no entanto, ocorrem fases sólidas diferentes em regiões intermediárias de composição, chamadas Soluções sólidas intermediárias. Vamos analisar um caso em particular, o da liga bimária composta pelos elementos Cobre (Cu) e Zinco (Zn).

Reiterando: Lembre que o processo de construção de um diagrama de fases é puramente experimental. Para cada percentual de mistura dos elementos escolhidos, o conjunto é levado a uma temperatura alta suficiente para derreter todo o conjunto; em seguida a temperatura é diminuída passo a passo (de uma quantidade demarcada passo das medidas); em cada temperatura é dado o tempo suficiente para que o processo de difusão se complete (os elementos busquem uma situação de estabilidade energética - mínima energia permitida para aquela temperatura e composição); nesta situação de equilíbrio utilizam-se técnicas experimentais diversas a fim de se verificar as fases presentes.

O diagrama de fases para o sistema Cobre-Zinco é o mostrado na próxima Figura. (próxima página).

Note (Não continue a ler o texto sem olhar a Fig.) que nos extremos de composição o desenvolvimento das fases é similar ao sistema bimário eutético estudado antes (solução sólida terminal); Nestas regiões durante o resfriamento passa-se da fase totalmente líquida L para fases bimárias $\alpha + L$ ou $\gamma + L$ (extremos esquerdo e direito, respectivamente) e posteriormente para as monofases α e γ . Possivelmente, com o decréscimo da temperatura, em regiões abaixo da solubilidade máxima total o limite local de solubilidade é ultrapassado e uma nova fase sólida dispersa na monofase primária se forma (Assim como vimos no sistema sólido terminal).

Obs: Os cálculos percentuais seguem o padrão anterior, traçando-se uma linha de amarracção (isoterma) e procedendo de forma similar ao que fizemos para os casos anteriores.

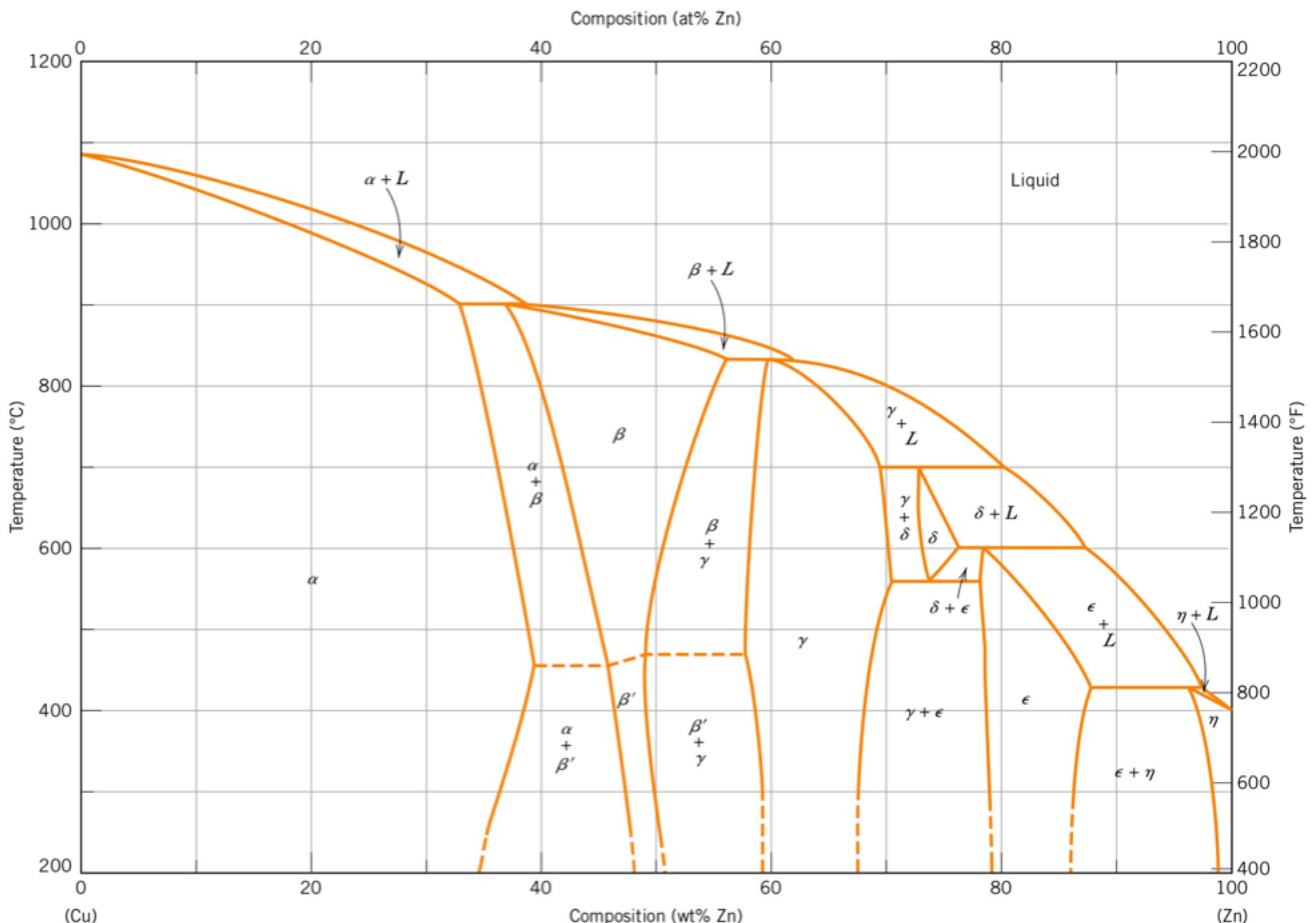


Figure 9.19 The copper-zinc phase diagram. [Adapted from *Binary Alloy Phase Diagrams*, 2nd edition, Vol. 2, T. B. Massalski (Editor-in-Chief), 1990. Reprinted by permission of ASM International, Materials Park, OH.]

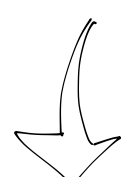
Copiado da Fig. 9.19

Callister - Rethwisch

8^a Ed. 

Nas regiões intermediárias de composição, diferentemente do que se observa para o sistema mais simples do tipo Pb-Sn (estudado em páginas anteriores), ocorrem fases sólidas diferentes daquelas das extremidades. Note no diagrama acima as fases β , γ , δ e ϵ ; tratam-se de soluções sólidas intermediárias.

Análise de uma região específica - digamos a mostrada na Figura abaixo.



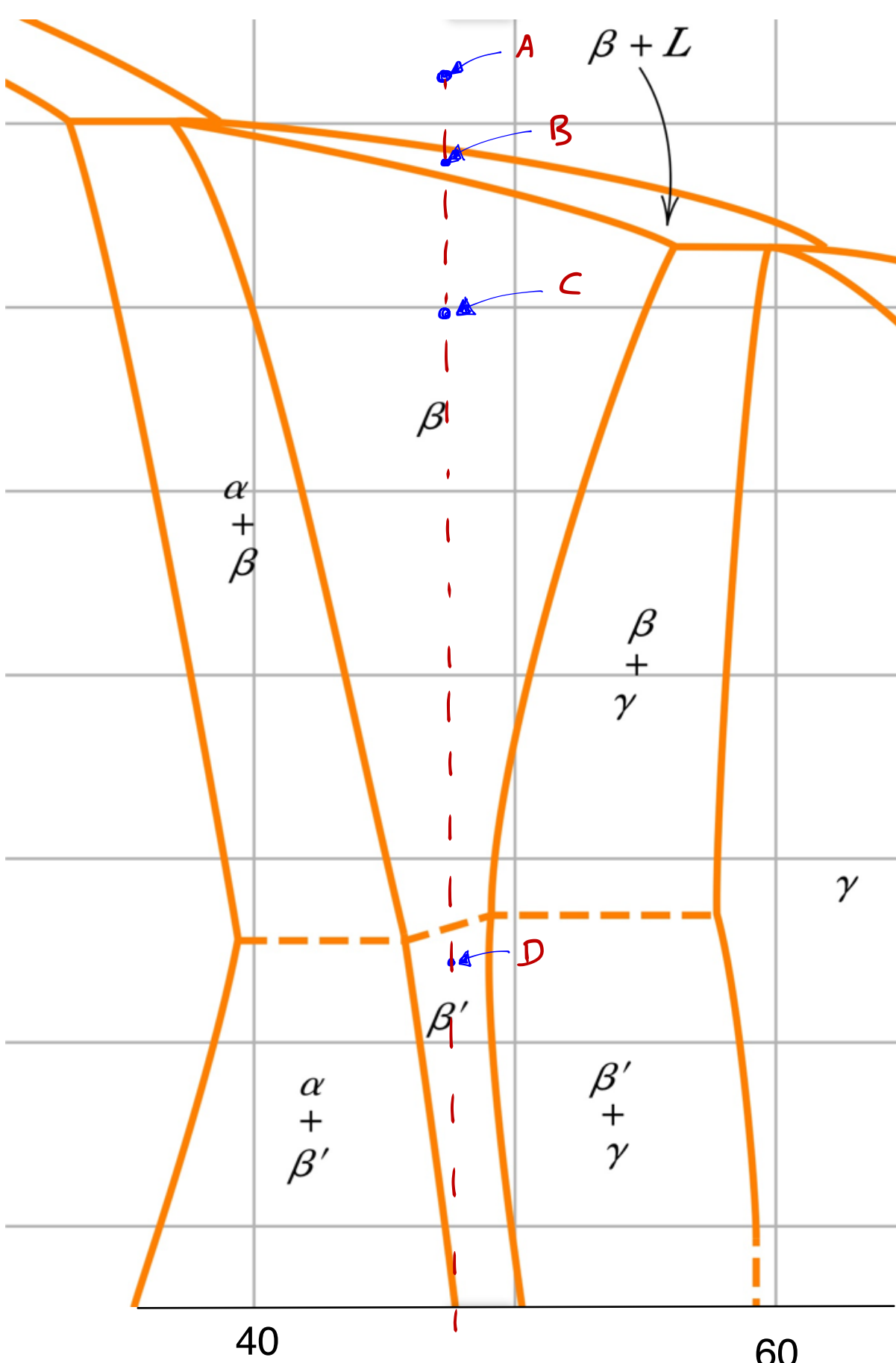


Fig. (1)

$$W_{\beta} = \frac{S}{R+S} \quad \text{e} \quad W_L = \frac{R}{R+S}.$$

* Jamos seguir a linha tracejada vertical passando aproximadamente pelo centro da região β em C (Peso % Zn) $\approx 47\%$.

Análise: No ponto A o conjunto

$$\sim 47 \text{ Peso \% Zn} - 53 \text{ Peso \% Cu}$$

encontra-se totalmente Líquido.

Ultrapassando a linha Líquidos a mistura entra em uma região bifásica $\beta + L$ em B. Nesta região pode-se obter as frações Líquida e sólida- β , bem como suas composições e/ou demais percentuais, composições e densidades associadas às fases ocorrentes.

Por exemplo: para calcular-se as frações de Líquido e sólido- β no ponto B procede-se como segue:

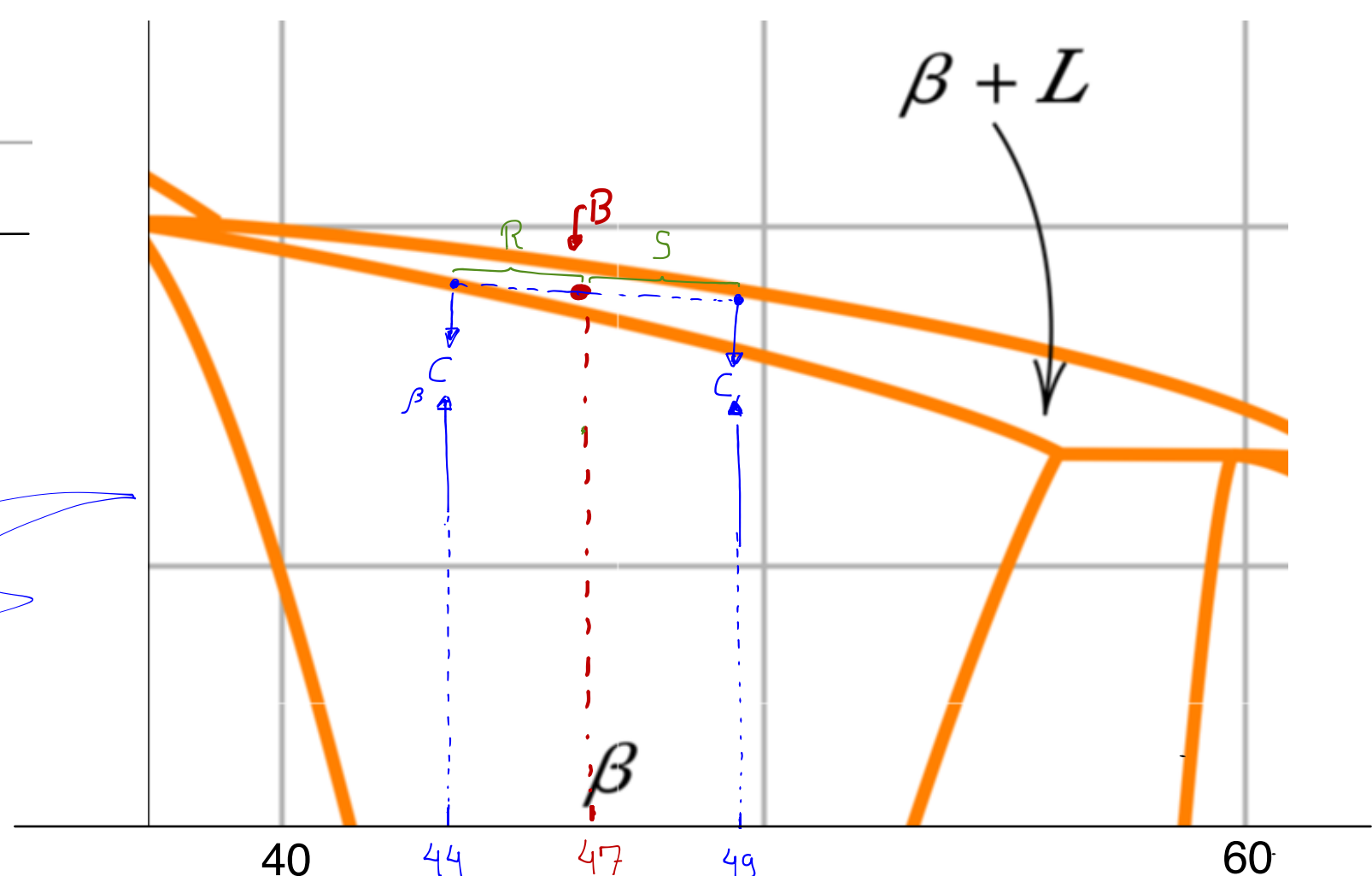


Fig. (2).

Adicionalmente, a parte sólida- β é composta por $\sim 44\%$ peso Zn - 56% peso Cu; enquanto que a parte Líquida-L é composta por $\sim 49\%$ peso Zn - 51% peso Cu.

Obs: Note que de um ponto de vista global a composição do conjunto $\beta + L$ contém 47% peso Zn - 53% peso Cu. Vamos verificar se somando-se o percentual de Zn em β mais o percentual de Zn de L temos 49% de Zn dentro do $\beta + L$.

Solução: Em 100% de β temos 44% de Zn e 56% de Cu. Mas 100% de β corresponde a $W_{\beta} \cdot 100\%$ de $\beta + L$. Para a parte Líquida temos 49% de Zn e 51% de Cu. Mas 100% de L corresponde a $W_L \cdot 100\%$ de $\beta + L$.

Assim a fração de Z_m em $\beta + L$ (sem recorrer-se ao eixo %) é dado pela soma Page 23 frações em cada fase dividido multiplicando-se pelo peso (peso da presença dentro da mistura e mao peso da fase - ou seja $w_\beta \circ w_L$) de cada fase dentro do total $\beta + L$.

$$\Rightarrow \frac{\text{Fração } Z_m \text{ em } \beta}{\equiv F_\beta} = \frac{44}{100} \cdot w_\beta + \frac{49}{100} \cdot w_L = \frac{44}{100} \cdot \frac{(49-47)}{(49-44)} + \frac{49}{100} \cdot \frac{(47-44)}{(49-44)}$$

$$F_\beta = \frac{44 \cdot 2}{100 \cdot 5} + \frac{49 \cdot 3}{100 \cdot 5} = \frac{88 + 147}{500} = \frac{235}{500} = 0,47$$

Portanto o percentual de Z_m em $\beta + L$, no ponto β , é 47% em peso, como mostra-se no diagrama.

Continuemos a análise: Prosseguindo com o decréscimo da temperatura chega-se à fronteira $\beta + L | \beta$. Ultrapassando-se esta barreira entra-se em uma região de solubilidade total, ou seja messas temperaturas e composições a mistura $Z_m - Cu$ é completamente solúvel fazendo resultar em uma fase homogênea β .

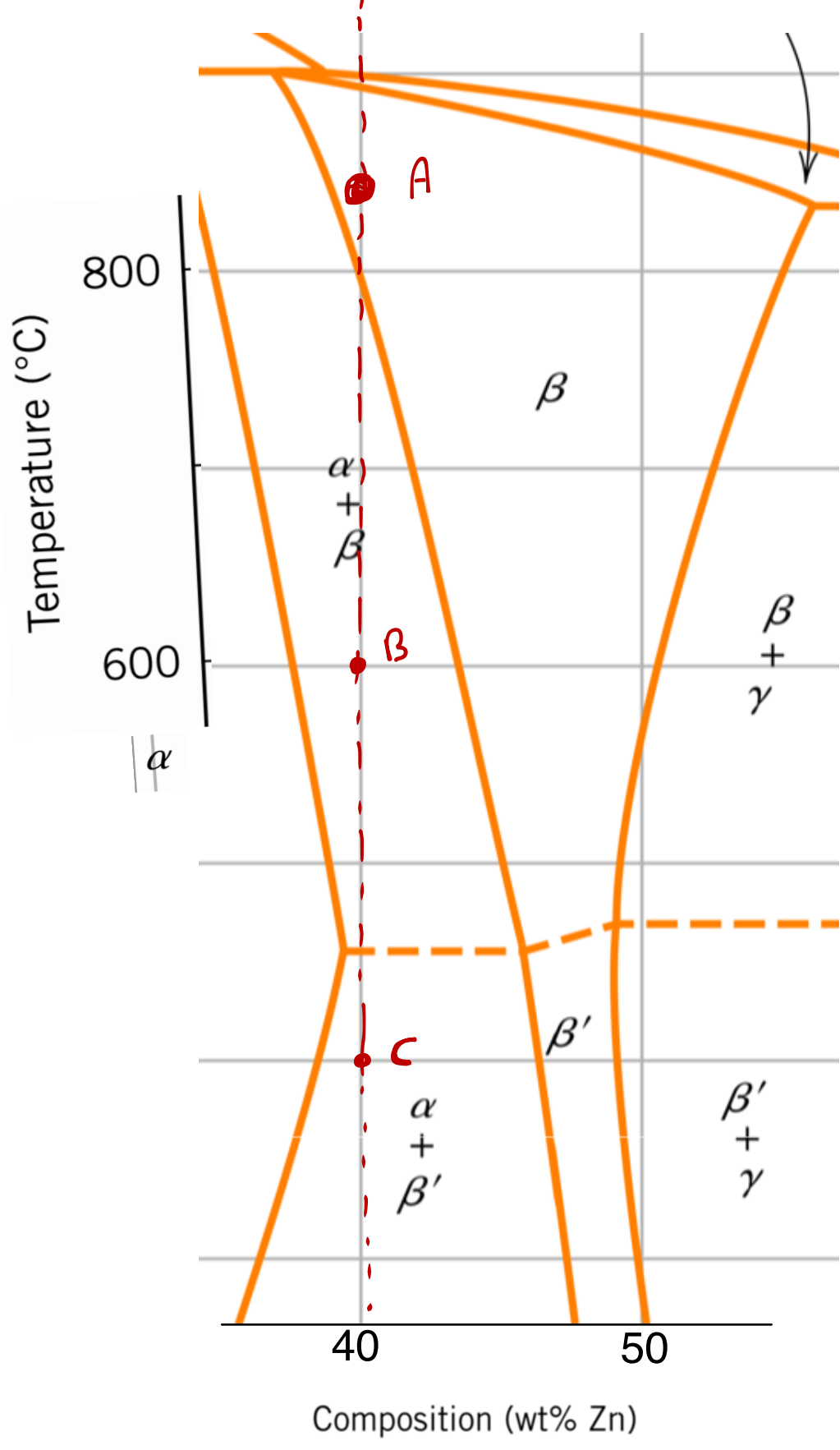
Nota: Dentro de uma fase homogênia (momofase) não faz sentido traçar-se uma linha de amarração isotérmica objetivando cálculos percentuais. Como trata-se de uma momofase $\Rightarrow w_\beta = 100\%$. Só o que varia de ponto a ponto é o percentual dos componentes.

Segue: descendo a linha pontilhada chega-se na fronteira entre β e β' , $\beta : \beta'$. Note que esta fronteira é pontilhada. A linha pontilhada denota que esta fronteira não é bem definida. Este fato ocorre porque o processo de difusão que leva $\beta \rightarrow \beta'$ é muito lento; desta forma diagramas de fases construídos em momentos diferentes ou em locais diferentes podem apresentar uma variação considerável na posição desta fronteira.

* O que diferencia a fase β' da fase β ?

Através de uma linha vertical passa-se pela momofase sólida- β e chega-se à momofase sólida β' sem passar-se por uma região bifásica. Temos então duas regiões homogêneas, totalmente solúveis e com percentuais de composição iguais. Em tese têm ingredientes para serem idênticas. Contudo, como vimos, estruturas cristalinas ou grau de cristalinidade (grau de organização-ordenaamento) definem diferentes fases. β' é portanto, similar a β mas com ordenamento estrutural diferente.

* Vamos deslocar a linha vertical de referência um pouco para a esquerda (menores valores de composição) tal que penetremos na região $\alpha + \beta$ a partir de β , como ilustra-se abaixo.



Partindo de A e descendo chega-se na fronteira $\beta \mid \alpha + \beta$ a uma temperatura de aproximadamente 800°C , com um percentual de $\sim 42\%$ peso Zn. Nesta temperatura o sistema encontra-se no limite de solubilidade capaz de produzir a mofase β . Como a fronteira possui inclinação negativa (\searrow) \Rightarrow baixando a temperatura passa a ser formada a fase α , cujo percentual é obtido da forma habitual. Descendo pela vertical chega-se à fronteira $\alpha + \beta \mid \alpha + \beta'$. Analogamente ao comentado na página anterior \Rightarrow a fase β apresenta uma mudança estrutural ao passar por esta fronteira.

Finalmente note que, para este sistema ($\text{Zn}-\text{Cu}$) sempre ocorre uma região bifásica entre as mofases intermediárias

* * *

Componentes Intermetaólicos

Ate' este ponto os sistemas estudados apresentam fases sólidas com diluição variável dependendo da composição e/ou da temperatura. Contudo, existem fases sólidas sem liberdade de diluição.

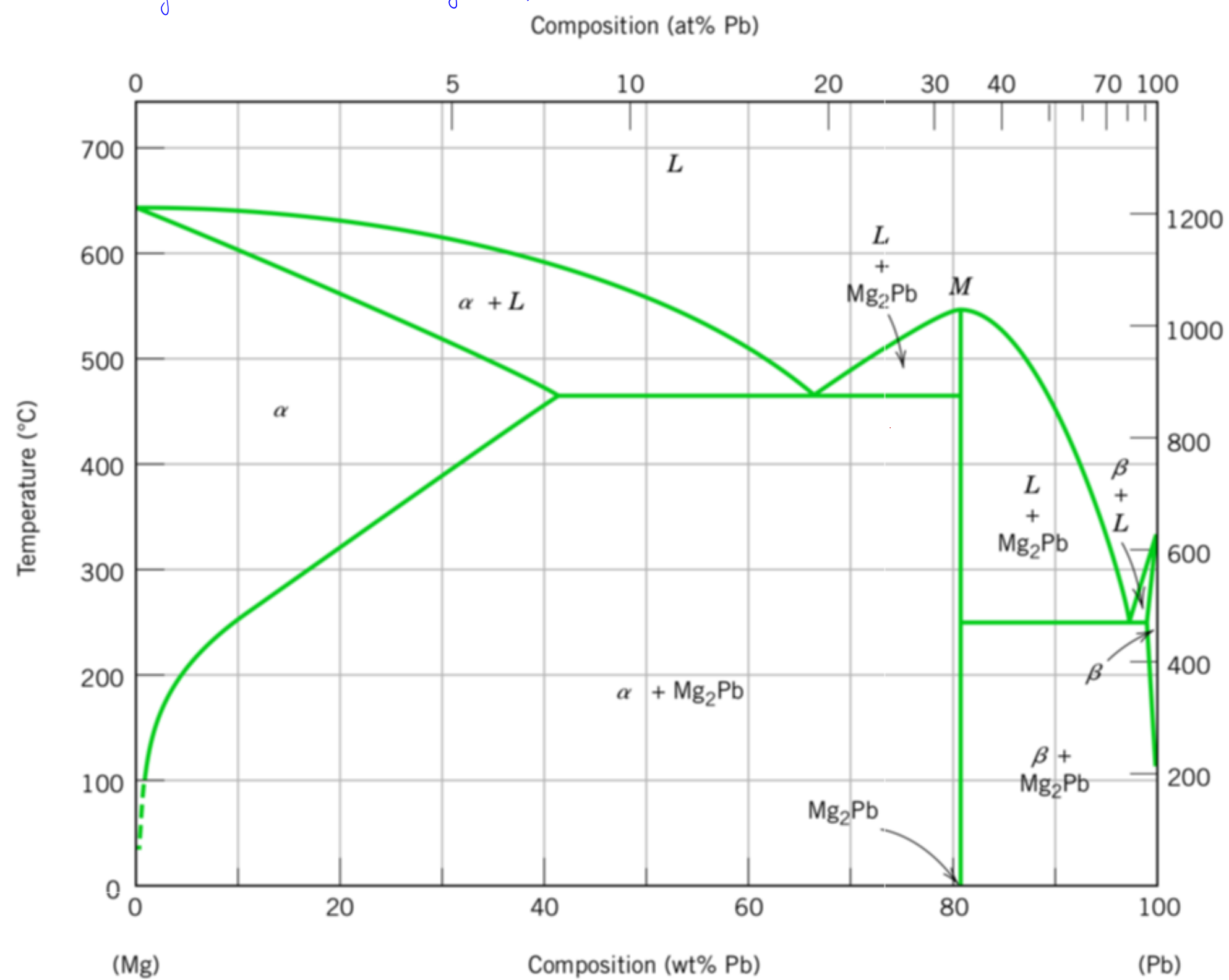
* O que significa isso - sem liberdade de diluição?

Vamos explicar com um exemplo:

Quanto existe liberdade de diluição entre dois elementos, digamos A e B, significa que dentro de uma faixa percentual ($2\% A - 98\% B$ ou $4\% A - 96\% B$, etc.) os dois se diluem completamente formando uma fase homogênea. Ex: açúcar em água → forma uma fase líquida homogênea para vários percentuais de açúcar abaixo do limite máximo de solubilidade. Existem, no entanto, elementos com afinidades químicas específicas tais que tendem a se combinarem em proporções fixas.

Exemplo: H_2O - Se misturarmos 3 partes de Oxigênio para 2 partes de Hidrogênio - em número atômico - forma-se $H_2O + O_2$. Para outros percentuais relativos forma-se a fase $H_2O +$ outras possibilidades. Para este composto bimário um percentual do total misturado estará (para temperaturas abaixo da ebullição) sempre associado à fase H_2O .

Isto também acontece para uma série de outros compostos. Vamos mostrar o caso especial do sistema bimário Magnésio-Chumbo ($Mg-Pb$).



Copiado da Fig. 9.20

Callister - Rethwisch

8^a Ed.



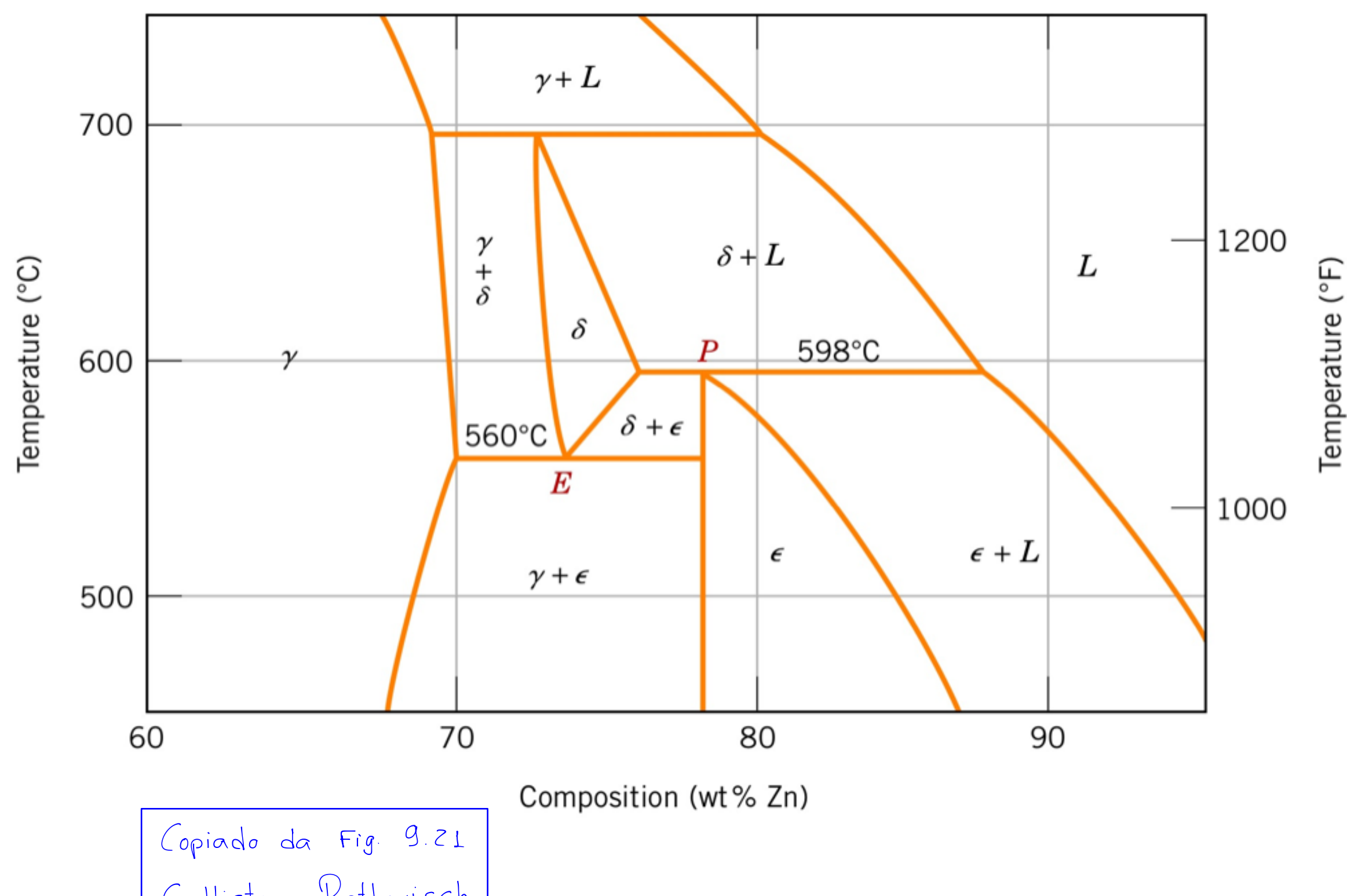
Note a ocorrência de uma fase intermediária homogênea em composição fixa dividindo duas regiões bifásicas ($\alpha + \text{Mg}_2\text{Pb}$ | $\beta + \text{Mg}_2\text{Pb}$). Note que esta fase intermediária difere das fases intermediárias β , γ , δ e ϵ do sistema Cobre-Zinco no qual as fases intermediárias ocorrem em regiões "largas".

A fase intermediária Mg_2Pb , denotada pela linha vertical em $\sim 81\%$ peso Pb é denominada fase intermetalica associada ao composto intermetalico Mg_2Pb .

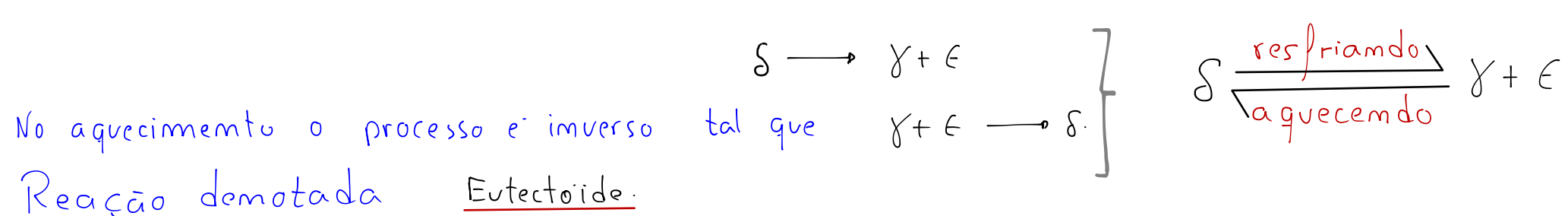
* * *

Reações eutectoide e peritética.

No diagrama de fases Cobre-Zinco verifica-se pontos similares aos pontos eutéticos verificados nas ligas bimáximas eutéticas do tipo Sn-Pb. No sistema Cu-Zn verifica-se os pontos **E** e **P**, representados no zoom local do diagrama Cu-Zn abaixo.



Um resfriamento passando pelo ponto **E** produz uma transformação tipo-eutética na forma



- 11 -

No ponto **P** o processo é similar. Comtudo a transformação de fase ocorre - pelo resfriamento - de uma bifase para uma monofase resultando em um processo inverso (do ponto de vista [mono-bi] fase) ao caso tipo-eutético ↗

